

ПОИСК МАГНИТОУПОРЯДОЧЕННОЙ ФАЗЫ В СИСТЕМЕ $Zn_{0,99}Co_{0,01}O$ μ SR-МЕТОДОМ

Т. Н. Мамедов^a, Д. Герлах^б, К. И. Грицай^a, В. А. Кецко^б,
Г. Д. Нипан^б, А. В. Стойков^{a,b}, Р. Хасанов^б, У. Циммерманн^б

^aОбъединенный институт ядерных исследований, Дубна

^бИнститут Пауля Шеррера, Виллиген, Швейцария

^aИнститут общей и неорганической химии им. Н. С. Курнакова, Москва

С целью поиска магнитоупорядоченной фазы исследовано поведение поляризации отрицательных мюонов в $Zn_{0,99}Co_{0,01}O$. Образец был получен методом твердофазного синтеза из ZnO и Co_3O_4 . Измерения проводились в поперечном спину мюона магнитном поле 1,5 кГс в интервале температур 5–300 К, а также в отсутствие внешнего магнитного поля при температуре 6 К. Фактов, свидетельствующих о возникновении дальнего магнитного порядка, не обнаружено.

The behavior of the negative muon polarization was studied to search for possible magnetic ordered phase in $Zn_{0,99}Co_{0,01}O$. The sample was produced by solid-phase reaction method by using ZnO and Co_3O_4 . Measurements were performed in transverse magnetic field 1.5 kGs in the temperature range 5–300 K and in zero external magnetic field at temperature 6 K. There were not observed any evidences for the long-range magnetic order.

PACS: 75.50.Pp; 76.75.+i

ВВЕДЕНИЕ

Разбавленные магнитные полупроводники вызывают пристальный интерес с точки зрения их возможного прикладного применения в областях опто- и магнитоэлектроники. Хотя магнитные полупроводники известны давно, поиск материалов с высокой температурой Кюри T_C , которые послужили бы основой для изготовления элементов электроники, работоспособной при комнатной температуре и выше, не прекращается. Наиболее подробно исследованы магнитные свойства бинарного полупроводника из арсенида галлия с примесью марганца $Ga_{1-x}Mn_xAs$, у которого температура Кюри составляет 159 К [1]. Недавно ферромагнетизм при комнатной температуре был обнаружен в полупроводниках $CdGeP_2:Mn$ и $CdGeAs_2:Mn$ [2].

Из теоретических расчетов [3,4] следует, что внедрением некоторых элементов переходных металлов в ZnO можно получить магнитный полупроводник с температурой Кюри выше комнатной. Эти расчеты стимулировали проведение серии экспериментальных исследований свойств соединений $Zn_{1-x}Me_xO$ (где Me — V, Cr, Mn, Fe, Co, Ni) (см., например, [5–19]). Результаты экспериментальных работ оказались противоречивыми — в некоторых работах сообщалось о наблюдении ферромагнитных свойств у образцов ZnO , дopedированных Mn, Co или Ni, а в других ферромагнетизм обнаружен не был.

В теоретическом [20] и экспериментальном [21] исследованиях авторы пришли к заключению, что для возникновения ферромагнитного упорядочения в ZnO, кроме элементов переходных металлов, необходимо допирение образца азотом. По расчетам [20], появление носителей заряда *p*-типа (дырок) способствует возникновению ферромагнитного обменного взаимодействия спинов атомов переходных металлов в ZnO. В то же время из расчетов [22, 23] следует, что магнитное упорядочение в системе $Zn_{1-x}Co_xO$ возможно в присутствии в определенных концентрациях пары Co-V_O, состоящей из кобальта и вакансии кислорода. Причем в зависимости от соотношений концентрации ионов кобальта и пары Co-V_O может возникать любая из следующих возможных магнитных фаз: парамагнитная, суперпарамагнитная, антиферромагнитная, ферромагнитная и спин-стекольная. По мнению авторов работ [22, 23], наблюдаемые в некоторых экспериментах магнитные свойства $Zn_{1-x}Me_xO$ обусловлены возникновением суперпарамагнитного состояния. Для идентификации этих состояний недостаточно измерения магнитной восприимчивости и гистерезиса в ее зависимости от магнитного поля. Авторы также отмечают, что для идентификации магнитных фаз в данном случае наиболее подходят такие микроскопические методы, как μ SR, ЭПР и дифракция γ -квантов.

ZnO относится к широкозонным «прямым» полупроводникам, кристаллическая структура — вюрцит, $\rho = 5,6 \text{ г}/\text{см}^3$, $E_g = 3,35 \text{ эВ}$, $T_D = 416 \text{ К}$, $T_{\text{пл}} = 2248 \text{ К}$, $g_n = -1,94$ [24], $g_p \simeq 1,5$ [24]. Монокристаллы и пленки ZnO в основном обладают проводимостью *n*-типа, что обусловлено высокой концентрацией собственных дефектов: доноров типа междуузельного Zn_{*i*}, вакансий цинка V_{Zn} и вакансий кислорода V_O. По этой же причине получение образца *p*-типа проводимости путем легирования ZnO элементами V группы (N, P, As) оказывается достаточно сложным, а электронные состояния акцепторных центров в ZnO практически не исследованы. В литературе имеется лишь несколько работ, в которых сообщается о получении образцов *p*-типа допированием ZnO азотом (см., например, [25, 26]). Атом азота, замещающий кислород в кристаллической решетке ZnO, образует акцепторный центр с энергией ионизации $E_v = 140 \text{ мэВ}$ [26] ($E_v = 180 \text{ мэВ}$ [27]).

Настоящая работа посвящена поиску возможной магнитоупорядоченной фазы в системе Zn_{0,99}Co_{0,01}O с помощью μ SR-метода на пучке поляризованных отрицательных мюонов. При остановке мюонов в исследуемом образце часть отрицательных мюонов захватываются атомами кислорода. Поскольку боровский радиус мюона на 1*s*-уровне примерно в $m_\mu/m_e \simeq 207$ раз меньше, чем радиус 1*s*-электрона, отрицательный мюон экранирует заряд ядра на единицу, и структура электронной оболочки данного атома кислорода становится аналогичной структуре электронной оболочки атома азота. Поляризация спина мюона зависит от состояния электронной оболочки захватившего мюон атома, от взаимодействия этого атома со средой и от магнитной структуры среды. В парамагнитных материалах при диамагнитной оболочке захватившего мюон атома прецессия спина мюона будет происходить на частоте, близкой к $f \simeq 13,55H$, где H — внешнее магнитное поле на образце в кГс и частота в МГц.

Проведенные ранее исследования в ряде оксидов переходных металлов показывают [28], что при фазовом переходе парамагнетик–антиферромагнетик поляризация мюонов на 1*s*-уровне атома кислорода, наблюдаемая на частоте прецессии свободного спина мюона во внешнем магнитном поле, скачкообразно уменьшается в два-три раза. В парамагнитной фазе наблюдается релаксация спина мюона со скоростью 0,1–1 МГц, обусловленная взаимодействием магнитных моментов мюона и электронов *d*-оболочки пере-

ходных металлов. В антиферромагнитной фазе магнитные моменты атомов переходных металлов упорядочены, что приводит к существенному росту скорости релаксации спина мюона и, соответственно, к отсутствию поляризации мюона на частоте прецессии свободного спина. В ферромагнитной же фазе возможно наблюдение прецессии спина мюона в магнитном поле домена в отсутствие внешнего магнитного поля.

ИЗМЕРЕНИЯ

Измерения были выполнены на спектрометре GPD [29], расположенным на мюонном канале μE1 ускорителя протонов Института Пауля Шеррера (PSI, Швейцария), в магнитном поле и в отсутствие внешнего магнитного поля. Величина перпендикулярного к направлению вектора начальной поляризации спина мюона однородного магнитного поля составляла 1,5 кГс с долговременной стабильностью не хуже чем 10⁻⁴. Измерения проводились в криостате, продуваемом парами гелия, что позволяло изменять температуру образца в диапазоне 4,2–300 К. Образец был упакован в медную кювету. Кювета с образцом приклеивалась к медному держателю. Температура образца стабилизировалась с точностью не хуже чем 0,1 К.

Был использован поликристаллический образец с общим весом ~ 5 г Zn_{0,99}Co_{0,01}O. Образец был получен путем твердофазного синтеза из соответствующего брутто-состава смеси ZnO и Co₃O₄. Однофазность образца проверялась рентгенофазным анализом на дифрактометре ДРОН-2. Метод получения однофазных образцов Zn_{1-x}Co_xO подробно описан в работе [18].

Временная эволюция поляризации мюонов $P(t)$, остановившихся в образце, исследовалась путем измерения временного распределения электронов из реакции $\mu^- \rightarrow e^- + \bar{\nu}_e + \nu_\mu$, вылетающих по направлению, перпендикулярному внешнему магнитному полю. Зависимость количества зарегистрированных электронов от времени (по отношению к времени остановки мюонов в образце) имеет следующий вид:

$$\begin{aligned} N(k) &= \sum_{i=1}^2 N_{0i} \exp\left(-\frac{t}{\tau_i}\right) \{1 + G_i(t)\} + \text{Bg}, \\ G_i(t) &= \frac{1}{3} P_i(t) \cos(2\pi f_i t + \varphi_i), \quad t = \Delta t k - t_0, \end{aligned} \quad (1)$$

где N_{0i} — величина, определяемая количеством мюонов, захваченных атомами i -типа ($i = 1$ — Zn, $i = 2$ — O); τ_i — время жизни мюона на 1s-уровне в атоме i -типа; f_i и φ_i — частота и фаза прецессии спина мюона в магнитном поле; Bg — случайный фон, не связанный с распадом остановившихся в образце мюонов; k и Δt — номер канала и ширина канала гистограммы; t_0 — положение нуля времени в гистограмме.

В настоящих измерениях Δt составляла 0,625 нс. Методика измерений и процедура восстановления функции поляризации спина мюона $P_i(t)$ из аппаратурных μ^- SR-спектров подробно описаны в работах [30, 31].

ЭКСПЕРИМЕНТАЛЬНЫЕ РЕЗУЛЬТАТЫ И ОБСУЖДЕНИЕ

Экспериментальные данные фитировались функцией (1) в предположении, что $P_i(t) = P_{0i} \exp(-\lambda_i t)$ и $\lambda_i = 0$ в случае Zn. Поскольку времена жизни мюона на 1s-уровнях меди

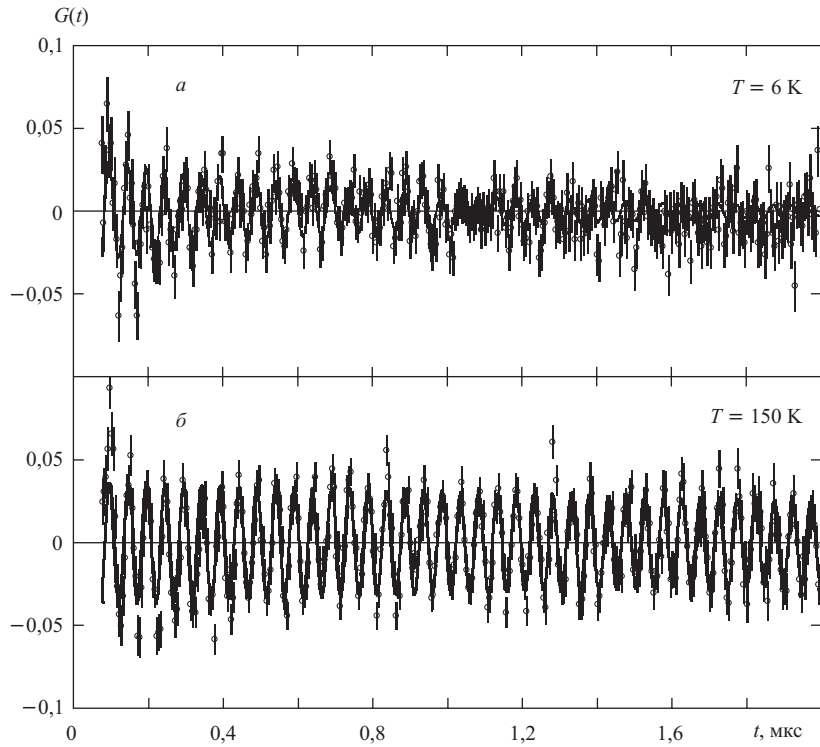


Рис. 1. Временная зависимость поляризации спина мюона $G(t)$ на 1s-уровне кислорода в $Zn_{0,99}Co_{0,01}O$

и цинка весьма близки — $(163,5 \pm 1,0)$ и $(160 \pm 0,7)$ нс [32], в функции (1) вклады мюонов, остановившихся в кювете и держателе, и мюонов, захваченных атомами цинка в образце, описывались как одно слагаемое под знаком суммы (одна экспонента с варьируемым временем жизни). По этой причине величина поляризации мюонов в цинке, найденная в настоящих измерениях, несколько занижена, и эти результаты в дальнейших обсуждениях не принимались во внимание. Далее мы будем рассматривать результаты исследования поведения поляризации мюонов, захваченных атомами кислорода. Следует отметить, что фитирование экспериментальных данных с использованием функции поляризации $P(t) = P_0 \exp(-\sqrt{\lambda}t)$, соответствующей релаксации спина мюона в разбавленной системе случайно распределенных флукутирующих магнитных моментов, не приводит к заметному уменьшению χ^2 .

На рис. 1 представлены зависимости поляризации спина мюона $G(t)$ от времени на 1s-уровне кислорода, измеренные при 6 и 150 К. Экспериментальные данные после вычитания вкладов фона, Cu и Zn умножены на $\exp(t/\tau_0)$ (где $\tau_0 = 1,840$ мкс — время жизни мюона на кислороде), и проведено суммирование по восьми каналам ($\Delta t = 5$ нс). Как видно, имеет место релаксация — уменьшение поляризации спина мюона во времени.

Температурные зависимости скорости релаксации λ и величины начальной поляризации спина мюона $a = P_0/3$ на 1s-уровне кислорода представлены на рис. 2. С ростом

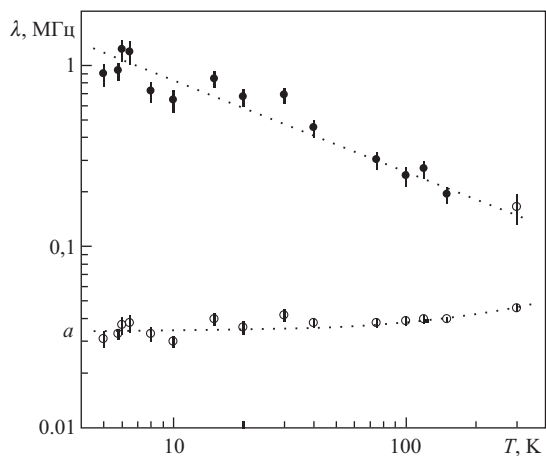


Рис. 2. Температурные зависимости начальной поляризации a (светлые кружки) и скорости релаксации λ (темные кружки) спина мюона на 1s-уровне кислорода в $Zn_{0,99}Co_{0,01}O$

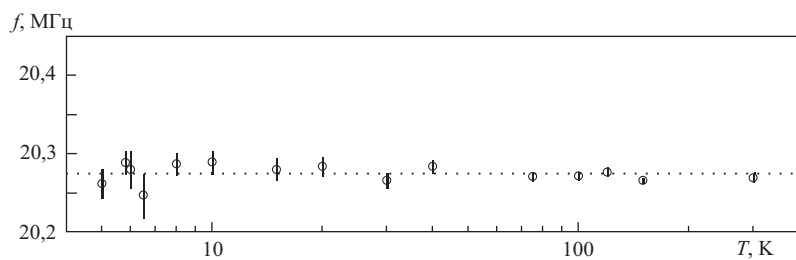


Рис. 3. Температурная зависимость частоты прецессии спина мюона на 1s-уровне кислорода в $Zn_{0,99}Co_{0,01}O$

температуры скорость релаксации спина мюона уменьшается, а начальная поляризация увеличивается. Температурные зависимости λ и a приближенно описываются следующими функциями: $\lambda = 2,25T^{-0,5}$ и $a = 0,034 + 0,00004T$. Не исключено, что вблизи 6 К имеются некоторые нерегулярности в зависимостях λ и a от температуры.

Частота прецессии спина мюона в магнитном поле не зависит от температуры (см. рис. 3), и среднее значение в интервале 5–300 К составляет $f = (20,271 \pm 0,002)$ МГц при ожидаемой для поля 1500 Гс величине $f_0 = 20,330$ МГц. Соответственно, сдвиг частоты прецессии спина мюона в образце составляет $\Delta f/f_0 = (f_0 - f)/f_0 = (2,9 \pm 0,1) \cdot 10^{-3}$.

Как следует из приведенных выше данных, в $Zn_{0,99}Co_{0,01}O$ скачкообразное изменение поляризации спина мюона в зависимости от температуры отсутствует. Имеет место лишь практически плавный рост скорости релаксации и уменьшение величины поляризации спина мюона с падением температуры. Наблюдаемая начальная поляризация спина мюона на 1s-уровне кислорода при комнатной температуре близка к максимально возможной величине с учетом деполяризации мюона при переходах из возбужденных уровней в основное состояние. Эти данные указывают на отсутствие магнитного фазо-

вого перехода и дальнего магнитного порядка в диапазоне температур исследования, по крайней мере, с единой температурой перехода в целом для всего образца. Однако не исключено возникновение ближнего магнитного порядка с уменьшением температуры, на что указывает постепенное уменьшение амплитуды поляризации спина мюона.

Ферромагнитное упорядочение в образце может быть обнаружено также измерениями в нулевом внешнем магнитном поле. При ферромагнитном упорядочении магнитных моментов атомов (ионов) кобальта в объеме отдельных доменов должно существовать значительное магнитное поле. Соответственно, в отсутствие внешнего магнитного поля спин мюона на $1s$ -уровне кислорода будет прецессировать во внутреннем магнитном поле отдельных доменов. При этом проекция вектора поляризации на направление начальной поляризации мюона зависит от угла θ между направлением магнитного поля в домене и начальной поляризации мюона как

$$G_z(t) = \frac{1}{3}P_0(\cos^2(\theta) + \sin^2(\theta)\cos(2\pi ft)). \quad (2)$$

При равной вероятности различных ориентаций доменов в пространстве усреднение по углу θ приводит лишь к уменьшению наблюдаемой амплитуды прецессии спина на треть по сравнению с величиной, соответствующей истинному значению поляризации мюона (см., например, [33]):

$$G(t) = \frac{1}{3}P_0\left(\frac{1}{3} + \frac{2}{3}\cos(2\pi ft)\right). \quad (3)$$

Однако при измерениях в отсутствие внешнего магнитного поля при $T = 6$ К прецессии спина мюона с частотой в интервале 0,14–250 МГц обнаружено не было. В то же время во внешнем магнитном поле 1500 Гс во всем интервале температур 5–300 К наблюдается прецессия спина мюона (и незначительный сдвиг частоты прецессии), свидетельствующая о наличии поляризации спина мюона. Т. е. отсутствие сигнала прецессии спина мюона в нулевом внешнем поле не обусловлено полной потерей поляризации мюона в веществе. Следовательно, ферромагнитное упорядочение в образце со значением магнитного поля в доменах более 10 Гс отсутствует. Не исключено также следующее обстоятельство: в силу случайного распределения атомов кобальта и того, что образец порошкообразный, размеры областей, где возникает корреляция магнитных моментов ионов Со, значительно меньше размера домена, характерного для обычных магнитных материалов (суперпарамагнитное состояние), и сильно отличаются друг от друга. При этом величина магнитного поля в разных частях образца будет отличаться, что может приводить к отсутствию наблюдаемой прецессии спина мюона в нулевом внешнем магнитном поле.

Таким образом, полученные в настоящем эксперименте результаты не свидетельствуют в пользу возникновения дальнего магнитного порядка в системе $Zn_{0,99}Co_{0,01}O$ в диапазоне температур 5–300 К. Однако не исключено образование небольших, по сравнению с размерами доменов, локальных областей в образце, где имеет место корреляция магнитных моментов ионов кобальта.

Авторы благодарны дирекции Института Пауля Шеррера за предоставление возможности проведения настоящих измерений и В. Н. Дугинову за полезную дискуссию.

СПИСОК ЛИТЕРАТУРЫ

1. Edmonds K. W. et al. // Phys. Rev. Lett. 2004. V. 92. P. 037201-1–037201-4.
2. Demin R. et al. // Phys. Status Solidi. 2004. V. 1. P. 3525–3528;
Novotortsev V. M. et al. // J. Inorg. Chem. 2005. V. 50. P. 492–497.
3. Dietl T. et al. // Science. 2000. V. 287. P. 1019–1022.
4. Sato K., Katayama-Yoshida H. // Physica B: Cond. Matter. 2001. V. 308–310. P. 904–907.
5. Jin Z. et al. // J. Appl. Phys. Lett. 2001. V. 78. P. 3824–3826.
6. Ueda K., Tabata H., Kawai T. // J. Appl. Phys. Lett. 2001. V. 79. P. 988–990.
7. Lee H.-J. et al. // J. Appl. Phys. Lett. 2002. V. 81. P. 4020–4022.
8. Kim J. H. et al. // J. Appl. Phys. 2002. V. 92. P. 6066–6071.
9. Lim S.-W., Hwang D.-K., Myoung J.-M. // Solid State Commun. 2003. V. 125. P. 231–235.
10. Schwartz D. A. et al. // J. Am. Chem. Soc. 2003. V. 125. P. 13205–13218.
11. Rode K. et al. // J. Appl. Phys. 2003. V. 93. P. 7676–7678.
12. Jedrecy N. et al. // Phys. Rev. B. 2004. V. 69. P. 041308-1–041308-4.
13. Vankatesan M. et al. // Phys. Rev. Lett. 2004. V. 93. P. 177206-1–177206-4.
14. Sluter M. H. F. et al. // Phys. Rev. Lett. 2005. V. 94. P. 187204-1–187204-4.
15. Ramachandran S., Tiwari A., Narayan J. // J. Appl. Phys. Lett. 2004. V. 84. P. 5255–5257.
16. Lawes G. et al. // Phys. Rev. B. 2005. V. 71. P. 045201-1–045201-5.
17. Kane M. H., Shalini K., Summers C. J. // J. Appl. Phys. 2005. V. 97. P. 023906-1–023906-6.
18. Hunan Г. Д. и др. // Журн. неорган. химии. 2006. Т. 51(12). С. 2083–2089.
19. Singhal R. K. et al. // Physica B: Cond. Matter. 2009. V. 404(19). P. 3275–3280.
20. Maouche D., Ruterana P., Louail L. // Phys. Lett. A. 2007. V. 365. P. 231–234.
21. Cao P. et al. // Physica B. 2007. V. 392. P. 255–258.
22. Pemmaraju C. D. et al. // Phys. Rev. B. 2008. V. 78. P. 054428-1–054428-10.
23. Hanafin R. et al. // Acta Physica Polonica A. 2009. V. 115, No. 1. P. 263–265.
24. Reynolds D. C., Litton C. W., Collins T. C. // Phys. Rev. 1965. V. 140 (5A). P. A1726–A1734.
25. Vaithianathan V. et al. // J. Cryst. Growth. 2006. V. 287. P. 85–88.
26. Рогозин И. В. // Физика и техника полупроводников. 2007. Т. 41, вып. 8. С. 924–928.
27. Jianguo Lu et al. // J. Phys. D: Appl. Phys. 2007. V. 40. P. 3177–3181.
28. Евсеев В. С. и др. // Письма в ЖЭТФ. 1978. Т. 27. С. 249–252;
Баландин М. П. и др. // ЖЭТФ. 1983. Т. 84(3). С. 1125–1128.
29. Abela R. et al. // Hyp. Int. 1994. V. 87. P. 1105–1110.
30. Mamedov T. N. et al. // J. Phys.: Cond. Matter. 1999. V. 11. P. 2849–2860.
31. Мамедов Т. Н., Стойков А. В., Горелкин В. Н. // ЭЧАЯ. 2002. Т. 33, вып. 4. С. 1005–1039.
32. Suzuki T., Measday D. F., Roalsvig J. P. // Phys. Rev. C. 1987. V. 35. P. 2212–2224.
33. Смилга В. П., Белоусов Ю. М. Мюонный метод исследования веществ. М.: Наука, 1991.

Получено 29 марта 2010 г.